

مدل سازی انتقال جرم در جذب مواد آلی فرار در بسترهای آکنده دوار

محمود رضا رحیمی^{۱*} ، سلیمان مصلح^۲

۱. استادیار گروه مهندسی شیمی، دانشکده فنی و مهندسی، دانشگاه یاسوج (mrrahimi@mail.yu.ac.ir)
۲. دانشجوی دکترا مهندسی شیمی، دانشکده فنی و مهندسی، دانشگاه یاسوج (soleiman.mosleh@yahoo.com)

مشخصات مقاله	چکیده
تاریخچه مقاله	فرآیند انتقال جرم در بسترهای آکنده با افزایش میدان گرایشی تشدید می‌شود، این بسترهای بستر آکنده دوار نامیده می‌شوند. در بسترهای آکنده دوار، انتقال جرم با هیدرودینامیک فاز گاز و مایع، سرعت دوران، و پارامترهای هندسی آکنه تحت تأثیر قرار می‌گیرد. در این مطالعه داده‌های ضریب انتقال جرم برای جذب مواد آلی فرار در بسترهای آکنده دوار مدل سازی شدند. برای تصحیح رابطه ضریب انتقال جرم در بستر آکنده دوار، به جای شتاب گریز از مرکز، از فاکتور بدون بعد شتاب دورانی موثر (β)، که نسبت میانگین شتاب دورانی به شتاب گرانش است، استفاده شده است. نتایج نشان می‌دهد برای سیستم‌های مورد مطالعه، توافق خوبی میان داده‌های تجربی و مقادیر پیش‌بینی شده از روابط ارائه شده برای ضریب انتقال جرم مشاهده می‌شود. حداقل خطای پیش‌بینی در مطالعه اخیر حدود ۲۰ درصد است که نسبت به کارهای پیشین از دقت بالاتری برخوردار است.
دریافت: ۴ شهریور ۹۱	پذیرش نهایی: ۱۹ اسفند ۹۱
دریافت پس از اصلاح: ۱۶ آذر ۹۱	
کلمات کلیدی:	بستر آکنده دوار جذب ترکیبات آلی فرار مدل سازی ضریب انتقال جرم

حقوق ناشر محفوظ است.

* عهده دار مکاتبات

۱- مقدمه

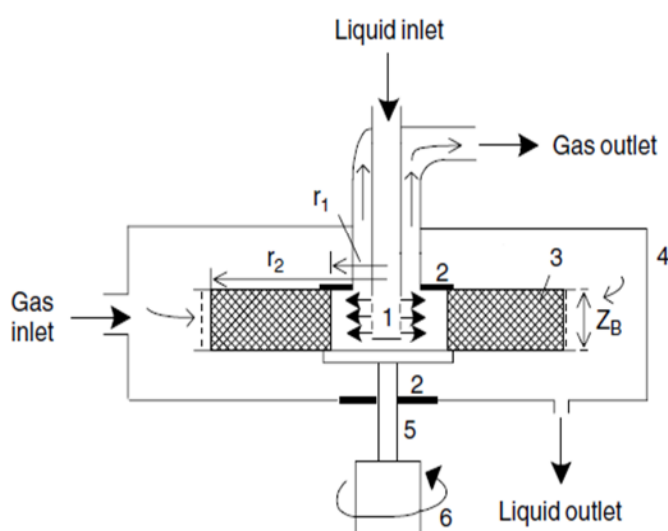
می باشد. بسیاری از ترکیبات آلی فرار حاصل از فرآیندهای صنعتی می توانند خطرات زیست محیطی فراوانی را ایجاد کنند که لازم است جهت حذف این ترکیبات مطالعاتی صورت گیرد. دستگاه بستر آکنده دوار می تواند در جذب این ترکیبات مورد استفاده قرار گیرد.

Chia-Chang Lin و همکاران [۱]، بکارگیری بستر آکنده دوار برای جذب ترکیبات آلی فرار از جریان گازهای زائد را مورد بررسی قرار دادند، در مطالعه‌ی آن‌ها ایزوپروپیل الکل به عنوان ترکیب آلی فرار مورد استفاده قرار گرفت و ضریب انتقال جرم حجمی کل در فاز گاز (K_{Ga}) در مقادیر مختلف پارامترهای عملیاتی شامل دور موتور، نرخ جریان گاز و مایع مورد بررسی قرار گرفت. Ling-Jung Hsu و همکاران [۲]، نیز انتقال جرم بستر آکنده دوار با آکنه‌های تیغه‌ای را جهت حذف متانول و ۱- بوتانول از مخلوط دو جزئی با استفاده از آب به عنوان جاذب مورد بررسی قرار دادند. در مطالعه آن‌ها وابستگی ضریب انتقال جرم کل در فاز گاز به غلظت ورودی متانول و ۱- بوتانول، سرعت چرخش و نرخ جریان‌های گاز و مایع مورد بررسی قرار گرفت. Yu-Shao chen [۳]، به بررسی جذب و دفع آمونیاک و ترکیبات آلی فرار در بستر آکنده دوار پرداخته است و با استفاده از داده‌های تجربی مقالات دیگر، ضریب انتقال جرم حجمی کل در فاز گاز را محاسبه کرده و تاثیرات نرخ جریان گاز، نرخ جریان مایع و ویسکوزیته‌ی مایع را روی ضریب انتقال جرم حجمی کل در

بستر آکنده دوار یک دستگاه انتقال جرم فشرده می باشد که می تواند در زمینه حذف ترکیبات آلی فرار [۴-۶]، عملیات جذب و دفع [۷-۹]، پلیمریزاسیون [۱۰] و تقطیر [۱۱]، کریستالیزاسیون [۱۲]، جذب سطحی [۱۳]، و استخراج مایع- مایع [۱۴]، بکار گرفته شود. این دستگاه از شتاب گریز از مرکز

جهت تشدید فرآیندهای اختلاط و انتقال جرم استفاده می کند. نیروی گریز از مرکز تولید شده توسط چرخش، توانایی دستگاه را در عملیات انتقال جرم بسیار بالا می برد، تحت این شرایط نفوذ مولکولی بسیار سریعتر رخ می دهد. شماتیک دستگاه بستر آکنده دوار در شکل (۱) نشان داده شده است.

مایع جاذب از طریق یک توزیع کننده (۱)، که در مرکز بستر قرار گرفته است، به طرف بستر (۳) پاشیده می شود. چرخش ایجاد شده توسط محور روتور (۵) که توسط یک موتور (۶) می چرخد، نیروی گریز از مرکز زیادی را تولید می کند که در اثر شتاب ایجاد شده، مایع جاذب از داخل بستر به سمت بیرون، در خلاف جهت جریان هوای حاوی ترکیب آلی که از لبه محفظه بیرونی (۱) وارد بستر می شود، حرکت می کند. بنابراین در طی این عملیات، یک فرآیند انتقال جرم ناهمسو بین فاز گاز و مایع رخ می دهد که سبب حذف ترکیبات آلی فرار از هوا می شود. شاعع داخلی و خارجی بستر به ترتیب ۲ و ۴ سانتیمتر و ارتفاع محوری آن نیز ۲ سانتیمتر است. تخلخل بستر ۰.۴ و مساحت سطح مخصوص آکنه $1200 \text{ m}^2/\text{m}^3$



شکل(۱): شماتیک بستر آکنده دوار [۱۴]

افزایش K_{Ga} با نیروی گریز از مرکز را به افزایش سطح مشترک گاز- مایع نسبت دادند. آن ها همچنین متوجه شدند که نوع حلال، تاثیر قابل توجهی بر راندمان انتقال جرم دارد، بنابراین نقش حلال را توسط ثابت هنری در رابطه ای به صورت زیر بیان کردند:

$$\frac{K_G a H_y^{0.27}}{D_G a_t^2} = 0.077 Re_G^{0.323} Re_L^{0.328} Gr_G^{0.18} \quad (2)$$

همچنین، نتایج نشان داد که ضریب انتقال جرم محلی گاز (K_G)، مستقل از سرعت چرخش بوده و مقدار آن مشابه با مقادیر آن در ستون پرشده معمولی می باشد. Lin و Hemkaran [16]، راندمان انتقال جرم در بستر آکنده دوار را در فرآیند جذب ایزوپروپیل و اتیل استات با استفاده از آب بررسی کردند. در مطالعه ای آن ها از آکنه هایی با تخلخل بالا استفاده شده است. رابطه بدست آمده از مطالعه آن ها به شکل زیر است:

$$\frac{K_G a H_y^{0.315}}{D_G a_t^2} = 0.06 Re_G^{0.712} Re_L^{0.507} Gr_G^{0.326} \quad (3)$$

Tung و Mah [17]، رابطه ای نظری را برای ضرایب انتقال جرم در بستر آکنده دوار به صورت زیر ارائه دادند:

$$K_L = \frac{D}{d_p} \left(\frac{2 \times 3^{\frac{1}{3}}}{\pi} \right) Sc^{\frac{1}{2}} Re^{\frac{1}{3}} \left(\frac{a_t}{a} \right)^{\frac{1}{3}} Gr^{\frac{1}{6}} \quad (4)$$

Chen و Hemkaran [18] نیز رابطه ای را به شکل زیر، برای بسترهای آکنده دوار در شعاع های مختلف ارائه کردند:

$$\frac{k_L d_p}{D a_t} \left(1 - 0.93 \frac{v_0}{v_t} - 1.13 \frac{v_i}{v_t} \right) = 0.65 Sc^{0.5} Re^{0.17} Gr^{0.3} We^{0.3} \quad (5)$$

این رابطه برای اندازه های متفاوت بسترهای آکنده دوار و سیالات نیوتونی و غیر نیوتونی معتبر است. علاوه بر این، این رابطه می تواند برآورده منطقی از k_{La} با توجه به داده های منتشر شده در نشریات داشته باشد. در سال ۱۹۸۶، Onda و Hemkaran [19] رابطه ای را برای ضریب انتقال جرم با چند نوع پرکن با اندازه مختلف به صورت زیر ارائه دادند:

$$k_L \left(\frac{\rho}{\mu_g} \right)^{\frac{1}{3}} = 0.0051 \left(\frac{L}{a \mu} \right)^{\frac{2}{3}} Sc^{\frac{-1}{2}} (a_t d_p)^{0.4} \quad (6)$$

بر اساس این رابطه، ضریب انتقال جرم با افزایش سطح مخصوص و کشش سطحی بحرانی پرکن، افزایش می باید. Yu- Shao Chen و Hemkaran [20]، ویژگی های پرکن (آکنه) و

فاز گاز بررسی کردند. Li و Woyuan [4]، حذف ترکیبات آلی فرار از مایعاتی با ویسکوزیته بالا را در بستر آکنده دوار بررسی کردند؛ مطالعات آن ها نشان داد که راندمان حذف، با افزایش سرعت چرخش و افزایش غلظت مایع افزایش یافته و با افزایش ویسکوزیته مایع، راندمان حذف کاهش می باید. بسیاری از روابط گزارش شده برای ضریب انتقال جرم در بسترهای آکنده دوار، بر اساس تعداد دور بستر مدل شده اند، از آن جایی که با تغییر دور بستر، در یک دور ثابت موتور، شتاب دورانی موثر وارد شده بر بستر تغییر می کند، لذا بهتر است به جای تعداد دور موتور، از شتاب دورانی موثر بستر استفاده شود. در مطالعه ای حاضر نقش نیروی گریز از مرکز در جذب ترکیبات آلی فرار در یک بستر آکنده دوار مورد بررسی قرار گرفته و مدل سازی برای تعیین رابطه ای مناسب برای ضریب انتقال جرم انجام شده است. به جای دور موتور یا شتاب گریز از مرکز، از فاکتور دورانی موثر (β)، جهت مدل سازی رابطه ای ضریب انتقال جرم استفاده شده است. در نهایت، اعتبارسنجی رابطه ای بدست آمده با مقایسه مقادیر پیش بینی شده توسط رابطه و مقادیر تجربی انجام گرفته است.

۲- مزروی بر مدل سازی های گذشته

روابط متعددی از ضرایب انتقال جرم در بسترهای آکنده دوار پیشنهاد شده است. با این حال، این روابط برای تمامی سیستم های تجربی صادق نیستند و نمی توانند پیش بینی قابل قبولی را برای سیستم های مختلف ارائه دهند. اکثر روابط پیشنهاد شده، خطابی حدود ۳۰ درصد دارند، بنابراین مطالعه بیشتر برای استخراج یک رابطه مناسب جهت پوشش دادن گستره بیشتری از داده های تجربی سیستم های مختلف، می تواند در امر مدل سازی و پیش بینی در مباحث مختلفی از جمله فرآیندهای جذب و دفع در بسترهای آکنده دوار کمک شایانی کند. Liu و Hemkaran [15]، رابطه ای را برای دفع اتانول از آب در بستر آکنده دوار به صورت زیر ارائه دادند:

$$\frac{K_G a}{D_G a_t^2} = 0.003 Re_G^{1.163} Re_L^{0.163} Gr_G^{0.25} \quad (1)$$

نتایج آن ها با توجه به رابطه بالا نشان می دهد که ضریب انتقال جرم (K_{Ga})، با افزایش نرخ جریان گاز، نرخ جریان مایع و سرعت چرخشی، افزایش می باید. آن ها همچنین جذب مواد آلی فراری مانند ایزوپروپیل الكل، استون و اتیل استات را توسط حلال در بستر آکنده دوار مورد بررسی قرار داده و

می باشد. رابطه‌ی بالا در قالب گروههای بدون بعد، به شکل زیر در می‌آید:

$$\frac{K_G a R T}{D_G a_t^2} = A H_y^B Re_G^C Re_L^D Gr_G^E \quad (11)$$

که در این معادله، A، B، C، D و E ضرایب معادله هستند که از برآش خطی بدست می‌آیند.

4- نتایج و بحث

برای مدل سازی از داده‌های تجربی Yu-Shao Chen [۲۱] استفاده شده است. با برآش داده‌های تجربی برای ترکیبات آلی فرار مختلف توسط حلال در بستر آکنده دور و تعیین ضرایب معادله (۱۱)، معادله‌ای به صورت زیر حاصل شد:

$$\frac{K_G a R T}{D_G a_t^2} = 0.0667 H_y^{-0.346} Re_G^{0.412} Re_L^{0.387} Gr_G^{0.22} \quad (12)$$

با توجه به معادله (۱۲)، ضریب انتقال جرم با افزایش نرخ جريان گاز و مایع و همچنین افزایش شتاب دورانی افزایش می‌یابد. همچنین برآش رابطه (۱۱) نیز انجام شده است و رابطه‌ی ضریب انتقال جرم با کمیت‌های موثر بدست آمده است. نتایج نشان داد که ضریب انتقال جرم با نرخ جريان گاز با توان ۰.۳۳-۰.۶۵، برای نرخ جريان مایع با توان ۰.۴۱-۰.۲ و با فاکتور شتاب دورانی با توان ۰.۱۵-۰.۲۸، افزایش یافته و با ثابت هنری با توان ۰.۲-۰.۴۷ کاهش می‌یابد. تغییرات ضریب انتقال جرم ($K_G a$) با فاکتور شتاب دورانی ($\bar{\beta}$) برای محلول‌های آلی فرار مختلف بررسی شده است. در شکل (۲)، وابستگی ضریب انتقال جرم نسبت به $\bar{\beta}$ برای نرخ‌های مختلف جريان مایع در جذب ايزوپروپیل الكل از هوا نشان داده شده است. ضریب انتقال جرم با افزایش $\bar{\beta}$ برای نرخ‌های مختلف جريان مایع افزایش می‌یابد. همچنین در یک دبی مشخص جريان گاز به میزان 9.16 L/min ، با افزایش جريان مایع از 258 ml/min به 252 ml/min ، ضریب انتقال جرم به میزان چشمگیری افزایش یافته است. حداقل خطا پیش بینی با استفاده از مدل سازی انجام گرفته حدود ۲۰ درصد می‌باشد.

تاثیر آن بر انتقال جرم در بسترهای آکنده دور را بررسی کردند. در مطالعه آن‌ها، جذب اکسیژن از گاز حامل نیتروژن توسط آب در یک جريان ناهمسو بررسی شد. جنس پرکن‌ها از مواد مختلفی مانند شیشه، سرامیک، اکریلیک و فولاد ضد زنگ انتخاب شد. هدف از کار آن‌ها، اصلاح رابطه‌ای برای k_{La} شامل تاثیر انواع پرکن بود. رابطه‌ای به صورت زیر به عنوان نتیجه کار آن‌ها ارائه گردید:

$$\frac{K_L a d_p}{D_L a_t} \left(1 - 0.93 \frac{v_0}{v_t} - 1.13 \frac{v_i}{v_t} \right) = 0.35 Sc_L^{0.5} Re_L^{0.17} Gr_L^{0.3} We_L^{0.3} \left(\frac{a_t}{a_p} \right)^{-0.5} \left(\frac{\sigma_c}{\sigma_w} \right)^{0.14} \quad (7)$$

این رابطه نه تنها برای انواع پرکن‌ها، بلکه برای بیشتر داده‌های تجربی در مورد $K_L a$ معتبر است.

3- مدل سازی

برای تصحیح رابطه ضریب انتقال جرم در بستر آکنده دور، به جای شتاب گریز از مرکز از فاکتور بدون بعد شتاب دورانی (β)، که نسبت میانگین شتاب دورانی به شتاب گرانش است، مطابق با رابطه (۸) استفاده شده است.

$$\beta = \frac{r \omega^2}{g} \quad (8)$$

فاکتور (β) با توجه به تغییرات شعاع تغییر می‌کند، با توجه به اینکه بستر دارای قطر داخلی و قطر خارجی می‌باشد، بنابراین می‌بایست یک مقدار میانگین طبق رابطه زیر استفاده شود.

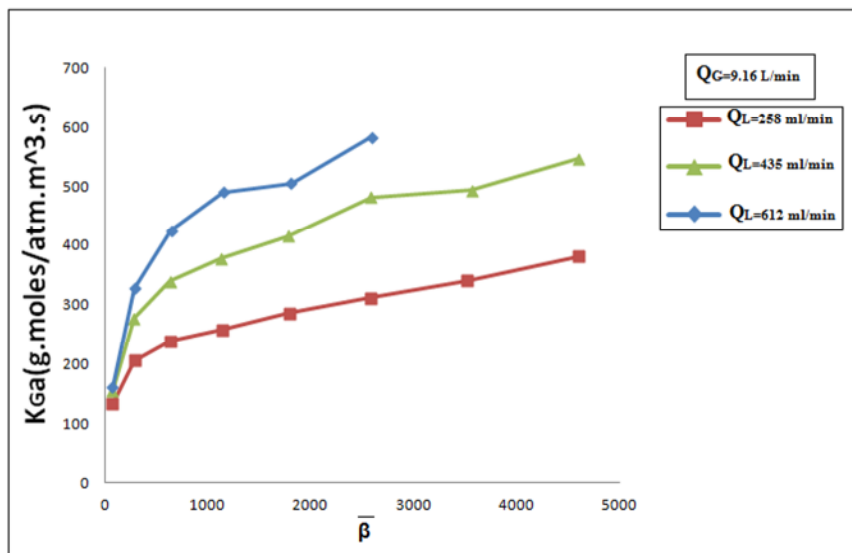
$$\bar{\beta} = \frac{\int_{r_1}^{r_2} \beta \cdot 2\pi r \cdot dr}{\int_{r_1}^{r_2} 2\pi r \cdot dr} = \frac{2\omega^2(r_1^2 + r_1 r_2 + r_2^2)}{3(r_1 + r_2)g} \quad (9)$$

ضریب انتقال جرم $K_G a$ تابع شرایط هیدرودینامیکی بستر، شدت جريان‌های گاز و مایع، شتاب دورانی موثر، خصوصیات حلal و شرایط عملیاتی می‌باشد که می‌توان به صورت کلی زیر، این وابستگی را نشان داد:

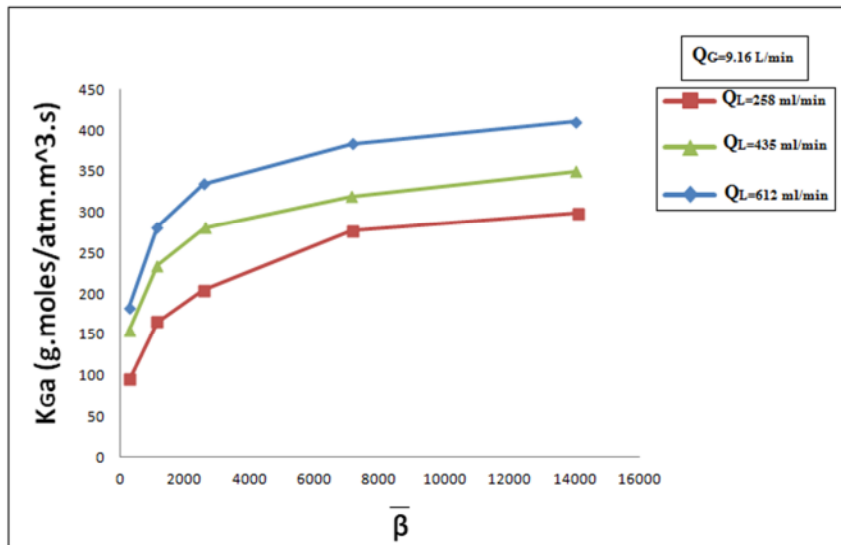
$$K_G a \propto Q_G^{a_1} Q_L^{a_2} \bar{\beta}^{a_3} H_y^{a_4} D_G^{a_5} a_t^{a_6} T^{a_7} \quad (10)$$

که در این رابطه، Q_G نرخ جريان گاز، Q_L نرخ جريان مایع، $\bar{\beta}$ فاکتور بدون بعد شتاب دورانی، H_y ثابت هنری، D_G ضریب نفوذ گاز، a_t مساحت سطح مخصوص آکنده و T دمای عملیاتی

مدل سازی انتقال جرم در جذب مواد آبی فرار در بسترهای آکنده دوار



شکل(۲) وابستگی K_{Ga} به فاکتور $\bar{\beta}$ در نرخ های مختلف جریان مایع برای جذب ایزوپزپیل الکل

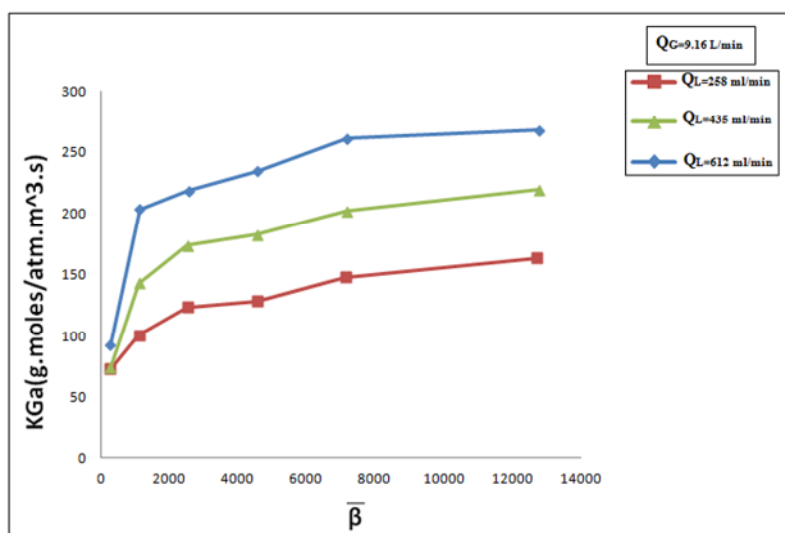


شکل(۳) وابستگی K_{Ga} به فاکتور $\bar{\beta}$ در نرخ های مختلف جریان مایع برای جذب استون

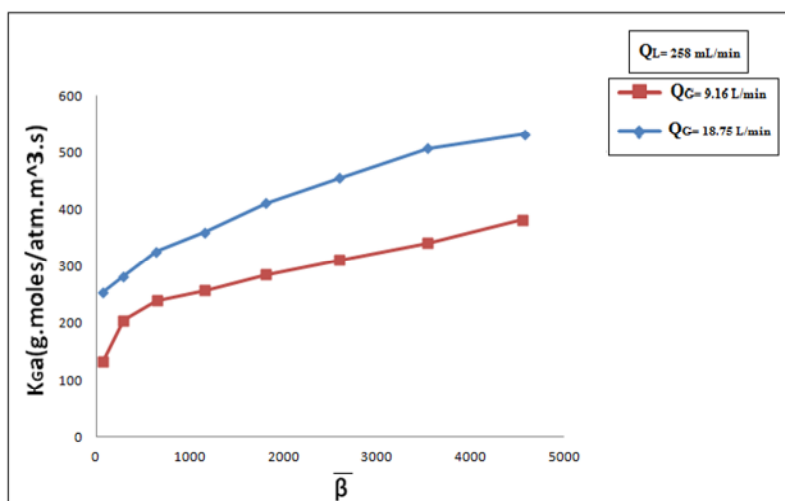
سبب افزایش ضریب انتقال جرم می شود. با افزایش جریان مایع، میزان ضریب انتقال جرم افزایش می یابد، به طوری که در نرخ ثابت جریان گاز، افزایش جریان مایع از ۲۵۸ ml/min به ۶۱۲ ml/min سبب افزایش قابل ملاحظه ای در ضریب انتقال جرم شده است.

در شکل(۳)، تغییرات ضریب انتقال جرم حجمی در فاز گاز، نسبت به فاکتور شتاب دورانی در فرآیند جذب استون از هوا توسط آب نشان داده شده است. با افزایش شتاب دورانی، ضریب انتقال جرم افزایش می یابد. این افزایش در نرخ های بالاتر جریان مایع بیشتر است.

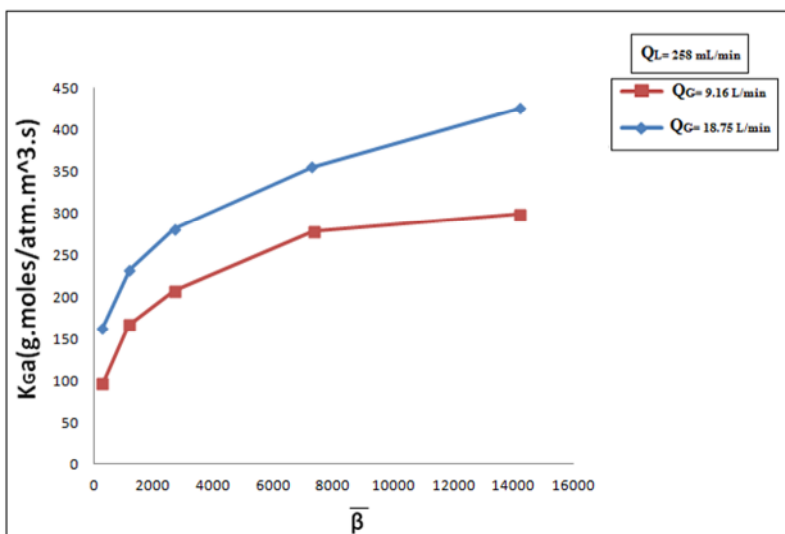
برای فرآیند جذب اتیل استات از هوا توسط آب نیز، وابستگی ضریب انتقال جرم حجمی فاز گاز نسبت به فاکتور شتاب دورانی در شکل (۴) رسم شده است. افزایش شتاب دوراتی



شکل(۴) وابستگی K_{Ga} به فاکتور $\bar{\beta}$ در نرخ‌های مختلف جریان مایع برای جذب اتيل استات



شکل(۵) وابستگی K_{Ga} به فاکتور $\bar{\beta}$ در نرخ‌های مختلف جریان گاز برای جذب ایزوپروپیل الکل



شکل(۶) وابستگی K_{Ga} به فاکتور $\bar{\beta}$ در نرخ‌های مختلف جریان گاز برای جذب استون

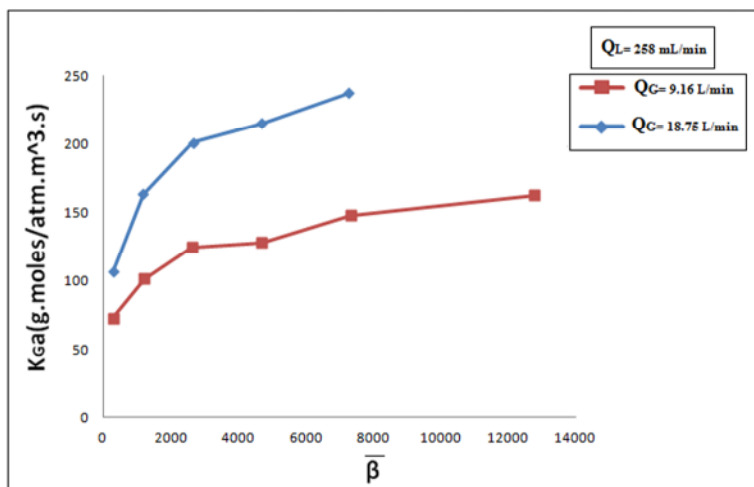
مدل سازی انتقال جرم در جذب مواد آلی فرار در بسترهای آکنده دوار

در شکل(۷)، برای جذب اتیل استات از هوا، تغییرات ضریب انتقال جرم با شتاب دورانی رسم شده است. با افزایش شتاب دورانی ضریب انتقال جرم افزایش یافته است. این افزایش با بالا رفتن دبی گاز در یک جریان ثابت مایع، به طور قابل ملاحظه‌ای بیشتر شده است.

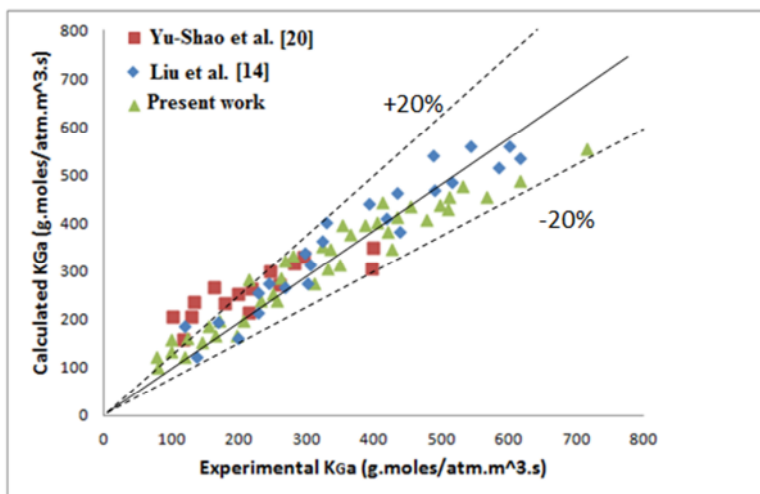
در شکل (۸)، مقایسه داده‌های تجربی با مقادیر محاسباتی توسط معادله (۱۲) انجام شده است. نتایج از دقت مناسب معادله برای پیش‌بینی ضرایب انتقال جرم حکایت دارد. حداقل خطا پیش‌بینی شده با استفاده از این معادله ۲۰ درصد می‌باشد در حالی که در مطالعات انجام گرفته توسط سایرین، شاهد خطای تا حدود ۳۰ درصد نیز هستیم.

برای نرخ‌های مختلف جریان گاز نیز، وابستگی ضریب انتقال جرم به فاکتور شتاب دورانی مورد بررسی قرار گرفته است. در شکل(۵) برای جذب ایزوپروپیل الکل از هوا، تغییرات ضریب انتقال جرم با فاکتور $\bar{\beta}$ رسم شده است. با افزایش نرخ جریان گاز از میزان 9.16 L/min به 18.75 L/min در یک جریان ثابت مایع، ضریب انتقال جرم به میزان زیادی افزایش یافته است.

برای فرآیند جذب استون نیز، وابستگی ضریب انتقال جرم به شتاب گریز از مرکز برای نرخ‌های مختلف جریان گاز در شکل (۶) رسم شده است. با افزایش نرخ جریان گاز در یک دبی ثابت جریان مایع، ضریب انتقال جرم حجمی در فاز گاز افزایش یافته است.



شکل(۷) وابستگی K_{Ga} به فاکتور $\bar{\beta}$ در نرخ‌های مختلف جریان گاز برای جذب اتیل استات



شکل (۸) مقایسه مقادیر تجربی K_{Ga} با مقادیر محاسبه شده توسط معادله (۱۲)

$$\begin{aligned}
 d_p &: \text{قطر معادل آکنه} \\
 G &: \text{شار جرمی گاز} \left(\frac{\text{kg}}{\text{m}^2 \cdot \text{s}} \right) \\
 g &: \text{شتاب گرانش} \left(\frac{\text{m}}{\text{s}^2} \right) \\
 H_y &: \text{ثابت بی بعد هنری} \\
 K_L &: \text{ضریب انتقال جرم سمت مایع} \left(\frac{\text{m}}{\text{s}} \right) \\
 L &: \text{شار جرمی مایع} \left(\frac{\text{kg}}{\text{m}^2 \cdot \text{s}} \right) \\
 r_i &: \text{شعاع داخلی بستر} (\text{m}) \\
 r_o &: \text{شعاع بیرونی بستر} (\text{m}) \\
 r_s &: \text{شعاع محفظه ساکن} (\text{m}) \\
 V_i &: \text{حجم درون شعاع داخلی بستر} \left(\frac{\text{m}^3}{\text{m}^2 \cdot z} \right) \\
 V_o &: \text{حجم بین شعاع بیرونی بستر و محفظه ساکن:} -\pi(r_s^2 - r_0^2)z \\
 V_t &: \text{حجم کل بستر} \left(\frac{\text{m}^3}{(\pi r_s^2 z)} \right)
 \end{aligned}$$

$$\begin{aligned}
 \text{گروههای بدون بعد} \\
 Fr &: \text{عدد فرود} \left(\frac{L^2 a_t}{\rho^2 a_c} \right) \\
 Gr &: \text{عدد گراش} \left(\frac{d_p^3 a_c \rho^2}{\mu^2} \right) \\
 Gr_G &: \text{عدد گراش گاز} \left(\frac{d_p^3 a_c \rho_G^2}{\mu_G^2} \right) \\
 Re_G &: \text{عدد رینولدز گاز} \left(\frac{L}{a_t \mu_G} \right) \\
 Re_L &: \text{عدد رینولدز مایع} \left(\frac{\mu}{a_t \mu_L} \right) \\
 Sc &: \text{عدد اشمیت} \left(\frac{\mu}{\rho D} \right) \\
 We &: \text{عدد وبر} \left(\frac{L^2}{\rho a_t \sigma} \right) \\
 \text{علایم یونانی} \\
 \beta &: \text{فاکتور بدون بعد شتاب دورانی} \\
 \epsilon &: \text{تخلخل بستر} \\
 \mu_G &: \text{ویسکوزیته گاز} (\text{Pa.s}) \\
 \mu_L &: \text{ویسکوزیته مایع} (\text{Pa.s}) \\
 \rho_G &: \text{دانسیته گاز} \left(\frac{\text{kg}}{\text{m}^3} \right) \\
 \rho_L &: \text{دانسیته مایع} \left(\frac{\text{kg}}{\text{m}^3} \right) \\
 \omega &: \text{سرعت چرخش} \left(\frac{\text{rad}}{\text{s}} \right) \\
 \psi &: \text{کرویت آکنه} \\
 \sigma &: \text{کشش سطحی} \left(\frac{\text{kg}}{\text{s}^2} \right) \\
 \sigma_C &: \text{کشش سطحی بحرانی آکنه} \left(\frac{\text{kg}}{\text{s}^2} \right) \\
 \sigma_W &: \text{کشش سطحی آب} \left(\frac{\text{kg}}{\text{s}^2} \right)
 \end{aligned}$$

مراجع

[1] Chia-Chang Lin, Tzu-Ying Wei, Shu-Kang Hsu, Wen-Tzong Liu (2006) "Performance of a pilot-scale cross-flow rotating packed bed in removing VOCs from waste gas streams", *separation and purification technology*, 52274-279.

[2] Ling-Jung Hsu, Chia-Chang Lin (2012) " Binary VOCs absorption in a rotating packed bed with blade packing ", *Journal of Environmental Management*, 98, 175-182.

5- نتیجه گیری

اهمیت دستگاه بستر آکنده دوار با توجه به ویژگی‌های منحصر به فردی مانند اندازه و وزن کم، راندمان عملیاتی و ایمنی بالا و کاربردهای وسیعی در فرآیندهای همچون جذب، دفع، تقطیر، کریستالیزاسیون، حذف مواد آلی فرار و بسیاری از واکنش‌ها، سبب شده است تا مطالعات تئوری و تجربی وسیعی در مورد آن صورت گیرد. در این مطالعه، مدل سازی رابطه انتقال جرم جهت ارزیابی تاثیر شتاب گریز از مرکز بر روی ضریب انتقال جرم (K_{GA}) در جذب محلول‌های آلی فرار انجام شد و نتایج نشان داد که رابطه بدست آمده دقیق خوبی در پیش‌بینی مقادیر تجربی دارد. نقش شتاب گریز از مرکز با بکارگیری فاکتور دورانی ($\bar{\beta}$), که نسبت میانگین شتاب دورانی به شتاب گرانش است، بر روی ضریب انتقال جرم بررسی شد و نتایج نشان داد که افزایش شتاب دورانی باعث افزایش ضریب انتقال جرم حجمی در فاز گاز (K_{GA}) می‌شود. در واقع نیروی گریز از مرکز با افزایش سطح مشترک گاز- مایع، فرآیند انتقال جرم را طی جذب محلول‌های آلی فرار، در بستر آکنده دوار تشدید می‌کند. غلظت محلول آلی فرار خروجی به طور چشمگیری به کمک نیروی گریز از مرکز در زمان کوتاهی کاهش می‌یابد. ضریب انتقال جرم حجمی کل در فاز گاز با افزایش شتاب دورانی در نرخ جریان مایع و گاز، افزایش می‌یابد. ضرایب انتقال جرم تجربی در مقایسه با مقادیر پیش‌بینی شده نشان می‌دهد که توافق خوبی بین مقادیر تجربی و مقادیر پیش‌بینی شده وجود دارد. حداقل خطای پیش‌بینی در این کار، حدود ۲۰ درصد می‌باشد که نسبت به کارهای پیشین از دقت بالاتری برخوردار است. همچنین مدل سازی ضریب انتقال جرم حجمی کل در فاز گاز به صورت رابطه‌ای متناسب با نرخ جریان گاز و مایع، فاکتور دورانی و ثابت هنری نشان می‌دهد که ضریب انتقال جرم با نرخ جریان گاز با توان ۰.۳۳-۰.۶۵، برای نرخ جریان مایع با توان ۰.۴۱-۰.۰ و با شتاب دورانی با توان ۰.۱۵-۰.۰۲۸ افزایش یافته و با ثابت هنری با توان ۰.۴۷-۰.۲ کاهش می‌یابد.

علایم اختصاری و نمادها

$$\begin{aligned}
 a &: \text{مساحت فصل مشترک گاز- مایع} \left(\frac{1}{\text{m}} \right) \\
 a_p &: \text{مساحت سطح مهراهی به قطر ۲ میلیمتر بر واحد حجم مهراه} \left(\frac{1}{\text{m}} \right) \\
 a_c &: \text{شتاب گریز از مرکز} \left(\frac{\text{m}}{\text{s}^2} \right) \\
 D &: \text{ضریب نفوذ} \left(\frac{\text{m}^2}{\text{s}} \right)
 \end{aligned}$$

مدل سازی انتقال جرم در جذب مواد آلی فرار در بسترهای آکنده دوار

- [12] Bisschops MA, van der Wielen L, Luyben K. (1997) "Centrifugal adsorption technology for the removal of volatile organic compounds from water". In: *Semel J, ed. 2nd International Conference on Process Intensification in Practice. London: BHR Group*, 299–307.
- [13] Podbielnik WJ, Kaiser HR, Ziegenhorn GJ (1970) "Centrifugal solvent extraction", *Chem Eng Prog Symp Ser*. 66 (100), 43–50.
- [14] Yi-Hung Chen, Ching-Yuan Chang, Wei Ling-Su, Chun-Yu Chiu, Yue-Hwa Yu, Pen-Chi Chiang, Chiung-Fen Chang, Je-Lueng Shie, Chyow-San Chiou, Sally IM Chiang (2005) "Ozonation of CI Reactive Black 5 using rotating packed bed and stirred tank reactor", *Journal of Chemical Technology and Biotechnology*, 80, 68-75.
- [15] Liu, H. S.; Lin, C. C.; Wu, S. C.; Hsu, H. W (1996) "Characteristics of a Rotating Packed Bed", *Ind. Eng. Chem. Res*, 35, 3590.
- [16] Lin, C. C.; Wei, T. Y. S.; Liu, W. T.; Shen, K. P (2004) "Removal of VOCs from Gaseous Stream in a High-Voidage Rotating Packed Bed ", *J. Chem. Eng. Jpn*, 37, 1471.
- [17] Tung, H. H.; Mah, R. S. H (1985) "Modeling Liquid Mass Transfer in Higee separation process", *Chem. Eng. Commun*, 39, 147.
- [18] Chen, Y. S.; Lin, C. C.; Liu, H. S (2005) " Mass Transfer in a Rotating Packed Bed With Various Radii of the Bed", *Ind. Eng. Chem. Res*, 44,7868.
- [19] Onda, K.; Takeuchi, H.; Okumoto, Y (1968) "Mass Transfer Coefficient between Gas and Liquid Phases in Packed Column", *J. Chem. Eng. Jpn*, 1, 56.
- [20] Chen, Y. S.; Lin, F. Y.; Lin, C. C.; Tai, C. Y.; Liu, H. S (2000) "Packing Characteristic for Mass Transfer in a Rotating Packed Bed", *Ind. Eng. Chem. Res*, 45, 6846.
- [21] Yu-Shao Chen; Hwai-Shen Liu (2002) "Absorption of VOCs in a Rotating Packed Bed", *Ind. Eng. Chem. Res*, 41, 1583-1588.
- [3] Yu-Shao Chen (2011) "Correlation of Mass Transfer Coefficients in a Rotating Packed Bed", *Ind. Eng. Chem. Res*, 50, 1778-1785.
- [4] Li Woyuan, Wu Wei, Zou Hailui, Chu Guangwen, Shao Lei and Chen Jiafeng (2009) "Process Intensification of VOC Removal from High Viscous Media by Rotating Packed Bed", *Separation Science and Eengineering, Chinese Journal of Chemical Engineering*, 17(3), 389-393.
- [5] Chia-Chang Lin, Bor-Chi Chen (2011) " Carbon dioxide absorption in a cross-flow Rotating Packed Bed", *CHEMICAL ENGINEERING RESEARCH AND DESIGN*, 89, 1722-1729.
- [6] Hsu-Hsiang Cheng, Chung-Sung Tan (2011) "Removal of CO₂ from indoor air by alkanolamine in a rotating packed bed", *separation and purification technology*, 82, 156-166.
- [7] Boodhoo KVK, Jachuck RJ, Ramshaw C (1997) "Spinning disc reactor for the intensification of styrene polymerization". In: *Semel J, ed. 2nd International Conference on Process Intensification in Practice. London: BHR Group*, 125–133.
- [8] Boodhoo KVK, Jachuck RJ, Ramshaw C. (1995) " Process intensification: spinning disc polymerizer for the manufacture of polystyrene". In: *Ramshaw C, ed. 1st International Conference on Process Intensification for the Chemical Industry. London: BHR Group*, 175–180.
- [9] J. V. S. Nascimento, T. M. K. Ravagnani and J. A. F. R. Pereira(۱۹۹۴) " Experimental study of a rotating packed bed distillation column", *Brazilian Journal of Chemical Engineering*, Vol. 26, No. 01, pp. 219-226.
- [10] LI Xiuping, LIU Youzhi, LI Zhiqiang WANG Xiaoli (2008) "Continuous Distillation Experiment with Rotating Packed Bed", *Chinese Journal of Chemical Engineering*, 16(4) ,656-662.
- [11] Oxley P, Brechtelsbauer C, Ricard F, Lewis N, Ramshaw C. (2000) " Evaluation of spinning disk reactor technology for the manufacture of pharmaceuticals". *Ind Eng Chem Res*, 39, 2175–2182.

Mass Transfer Modeling for Volatile Organic Compounds Absorption in Rotating Packed Beds

Mahmood Reza Rahimi^{1*}, Soleiman Mosleh²

1. Department of Chemical Engineering, Faculty of Engineering, Yasouj University
(mrrahimi@mail.yu.ac.ir)
2. Ph.D student of Chemical Engineering, Faculty of Engineering, Yasouj University
(soleiman.mosleh@yahoo.com)

ABSTRACT

The process of mass transfer in packed beds by increasing the gravitational field is intensified, these beds called the rotating packed bed. In rotating packed beds, mass transfer affected by the hydrodynamics of gas and liquid phases, rotational speed and geometric parameters of packing. In this study, the mass transfer coefficient data for the absorption of volatile organic compounds in rotating packed beds were modeled. To correction of mass transfer coefficient in rotating packed bed, used dimensionless effective rotating acceleration factor (β), instead of centrifugal acceleration. For the systems studied, good agreement between experimental data and predicted mass transfer coefficient is observed for the relationships presented. In this study, the maximum prediction error is about 20 percent that has higher accuracy than previous works.

ARTICLE INFO

Article history:

Received: 25 Aug. 2012

Revised: 6 Dec. 2012

Accepted: 9 Mar 2013

Key words:

rotating packed bed
volatile organic compounds
absorption
modeling
mass transfer coefficient

All right reserved.

* Corresponding author